УДК 621.373.826 DOI: 10.15372/PMTF202315287

ЗАКОНЫ ПОДОБИЯ ПРИ ПРЯМОМ ЛАЗЕРНОМ ВЫРАЩИВАНИИ МЕТАЛЛОКЕРАМИЧЕСКИХ ТРЕКОВ

А. А. Голышев, Н. А. Сибирякова

Институт теоретической и прикладной механики им. С. А. Христиановича СО РАН, Новосибирск, Россия

E-mails: alexgol@itam.nsc.ru, n.sib1709@gmail.com

Определены безразмерные параметры и законы подобия, описывающие геометрические размеры металлокерамического наплавляемого валика, формируемого в процессе прямого лазерного выращивания. В качестве порошковой смеси использовались титановый сплав ВТ-6 и керамика (карбид кремния SiC) с различной объемной долей. Предложена модель для оценки теплофизических параметров гетерогенного материала. Показано, что независимо от объемной доли керамики безразмерные геометрические параметры единичного трека (глубина, ширина и высота) зависят от двух безразмерных параметров: нормированной энтальпии и числа Пекле, причем эти зависимости могут быть аппроксимированы алгебраическими выражениями.

Ключевые слова: законы подобия, металлокерамика, прямое лазерное выращивание, безразмерные параметры

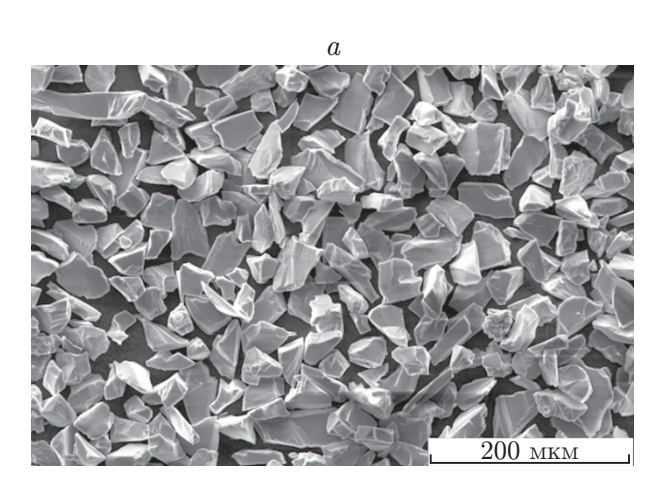
Введение. В настоящее время аддитивные технологии, основанные на процессе послойного выращивания объектов, активно развиваются и используются в различных отраслях промышленности. Особенно быстро возрастает потребность в изделиях из титана и сплавов на его основе, имеющих такие механические характеристики, как малая плотность, структурная стабильность, низкая теплопроводность, высокий предел упругости, высокая усталостная и коррозионная стойкость [1, 2]. В то же время титановые сплавы имеют ряд недостатков, в частности низкие износостойкость и твердость [3]. Существенно улучшить физико-механические свойства титана позволяет добавление частиц армирующего материала. В качестве армирующих элементов часто используются различные типы керамики, такие как карбид кремния SiC [4], карбид титана TiC [5], карбид бора В₄С [6] и др.

Метод аддитивного выращивания является многопараметрическим и включает большое количество процессов (поглощение лазерного излучения, плавление металла, распространение тепла в материале за счет теплопроводности и др.). Численное моделирование исследуемой системы основано на упрощении общей задачи за счет пренебрежения рядом параметров [7, 8]. Для учета большого количества параметров требуются не только значительные вычислительные мощности, но и существенные затраты времени. Поэтому при описании многопараметрических систем часто используется П-теорема, позволяющая обобщить разнообразные экспериментальные данные и сформулировать законы подобия, характеризующие исследуемый процесс [9].

Целью данной работы является определение безразмерных параметров, описывающих процесс формирования единичных треков в металлокерамической смеси BT-6 — SiC.

Работа выполнена при финансовой поддержке Российского научного фонда (код проекта 21-79-10213).

⁽с) Голышев А. А., Сибирякова Н. А., 2023



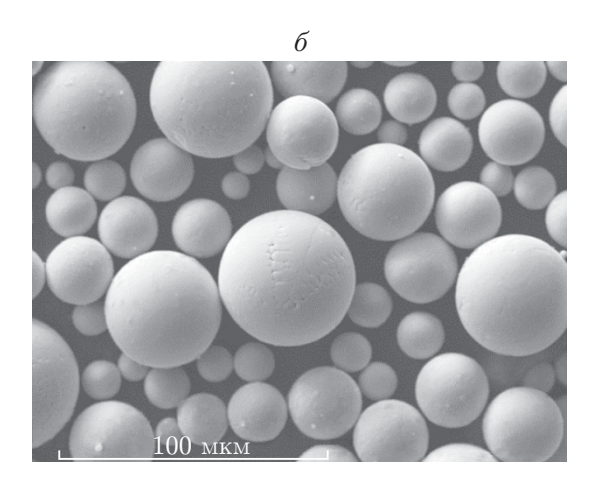


Рис. 1. Используемые порошки: a — титановый сплав BT-6; δ — карбид кремния SiC

1. Используемые материалы и методы. В экспериментах используются порошковые смеси из титанового сплава BT-6 (рис. 1,a) и карбида кремния SiC (рис. $1,\delta$) с объемной долей керамики $\nu=0,\ 10,\ 20$ %. Порошковая смесь наплавляется на подложку из титанового сплава BT-20 с размерами $50\times 50\times 5$ мм с использованием метода прямого лазерного выращивания (direct metal deposition (DMD)). В данном случае наплавка осуществляется следующим образом. Лазерное излучение фокусируется с помощью линзы на подложку, при этом образуется ванна расплава. Одновременно через коаксиальное сопло с использованием потока газа в ванну расплава подается струя порошковой смеси соосно с лазерным лучом. В процессе перемещения лазерного луча ванна расплава затвердевает, при этом образуется наплавочный валик (рис. 2). Проведена наплавка 63 единичных треков, значения параметров лазерного излучения находились в следующих диапазонах: мощность — $400 \div 1800$ Вт, скорость сканирования — $6 \div 32$ мм/с, диаметр лазерного пятна — $1,02 \div 8,62$ мм.

Геометрические параметры треков измерялись с помощью конфокального лазерного сканирующего микроскопа Olympus LEXT OLS3000. Для этого подготавливались шлифы единичных треков в поперечном сечении. Ширина трека, высота наплавки и глубина проплава определялись в соответствии с рис. 3,a. На рис. $3,\delta$ представлена фотография единичного трека в поперечном сечении.

2. Результаты исследования и их обсуждение. Известно, что при изменении параметров лазерной наплавки изменяются размеры формируемого валика. Кроме того, в зависимости от выбранных параметров могут формироваться как режим кинжального проплавления, так и режим теплопроводности. Однако в настоящее время отсутствует общая модель, определяющая характеристики наплавляемого валика в зависимости от режима лазерного воздействия. При решении рассматриваемой многопараметрической задачи используются методы подобия и размерности для определения безразмерных параметров и законов подобия.

При описании динамических теплофизических процессов используется безразмерный параметр Пекле [10]:

$$Pe = \frac{VDc\rho}{\lambda}.$$

Здесь c — удельная теплоемкость; ρ — плотность; λ — теплопроводность; V — скорость; D — диаметр лазерного пучка.

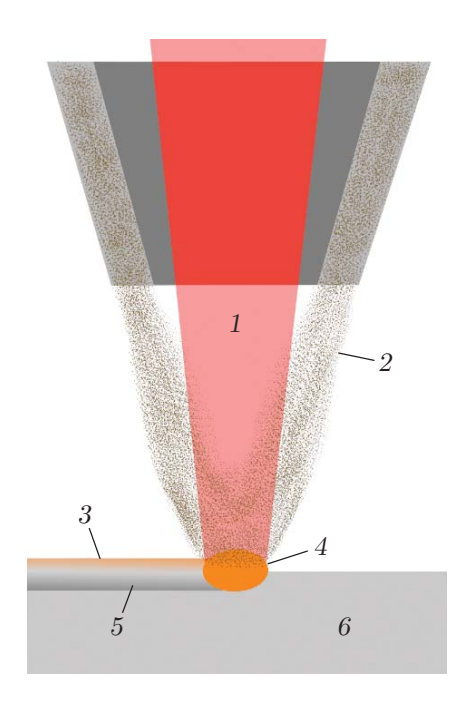


Рис. 2. Схема установки для лазерной наплавки (DMD-метод): 1 — лазерное излучение, 2 — порошок, 3 — слой наплавки, 4 — ванна расплава, 5 — слой проплава, 6 — подложка

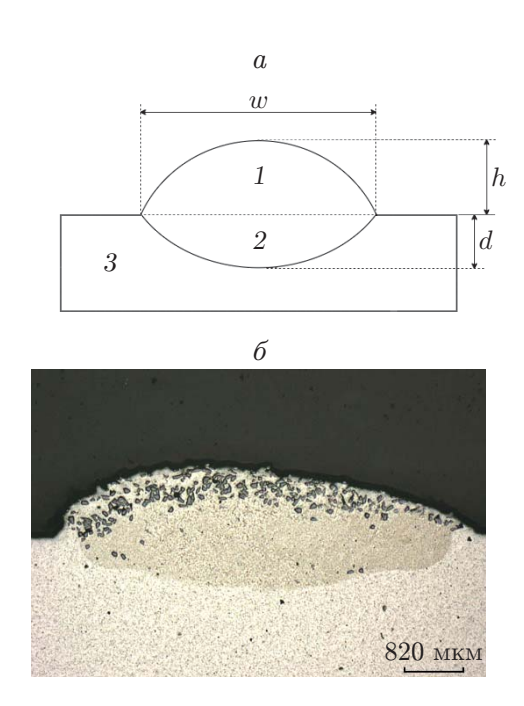


Рис. 3. Схема (a) и фотография (b) наплавленного единичного трека в поперечном сечении:

1— зона наплавки, 2— зона проплава, 3— подложка

Число Пекле представляет собой отношение скорости сканирования к скорости изменения температуры в материале и не учитывает процесс поглощения лазерного излучения и плавление материала. Введем безразмерный энергетический параметр процесса лазерной наплавки. Поглощенная энергия равна $AW\tau$, где A — коэффициент поглощения; W — мощность излучения; $\tau \approx D/V$ — время. Эта энергия распределяется в объеме $\pi D^2 \sqrt{\alpha \tau}$ (πD^2 — площадь лазерного пятна; $\sqrt{\alpha \tau}$ — глубина проникания тепла; $\alpha = \lambda/(c\rho)$ — температуропроводность). Поглощенная энергия в единице объема равна величине изменения энтальпии, которую можно нормировать на величину энтальпии при плавлении $h_s = \rho c T_{\text{пл}}$ [11]:

$$B = \frac{\Delta H}{h_s} = \frac{AW}{h_s \pi \sqrt{\alpha V D^3}} = \frac{A}{T_{\text{пл}} \sqrt{\pi c \rho \lambda}} \frac{W}{\sqrt{V D^3}}.$$

Здесь ΔH — изменение энтальпии; $T_{\rm пл}$ — температура плавления.

Так как наплавляется гетерогенная смесь BT-6 — SiC, при расчетах безразмерных параметров необходимо использовать осредненные значения теплофизических констант. Осреднение плотности и теплоемкости проводится по правилу смеси:

$$\rho = \rho_{SiC}\nu + \rho_{Ti}(1 - \nu), \qquad c = c_{SiC}\nu + c_{Ti}(1 - \nu),$$

где $\rho_{\rm SiC}$, ν , $c_{\rm SiC}$ — плотность, объемная доля и теплоемкость армирующей фазы (керамики) соответственно; $\rho_{\rm Ti}$, $c_{\rm Ti}$ — плотность и теплоемкость связующей фазы (металла) соответственно; c — теплоемкость композита.

Следует отметить, что осреднение теплопроводности по правилу смеси может привести к некорректным результатам. Поэтому используем формулу [12]

$$\lambda = \lambda_{\mathrm{Ti}} \Big(1 + \nu \, \frac{1 - \lambda_{\mathrm{Ti}} / \lambda_{\mathrm{SiC}}}{1 - \nu^{1/3} (1 - \lambda_{\mathrm{Ti}} / \lambda_{\mathrm{SiC}})} \, \Big).$$

Здесь λ_{Ti} , λ_{SiC} — теплопроводность связующей и армирующей фаз.

В результате расчетов по полученным формулам построены экспериментальные зависимости безразмерных геометрических параметров треков (нормированных на диаметр лазерного пучка) от безразмерной энтальпии (рис. 4) и числа Пекле (рис. 5). Расчет безразмерной энтальпии и числа Пекле для каждого трека проводился на основе используемых в эксперименте параметров лазерного излучения, коэффициент поглощения не учитывался и принимался равным единице. На рис. 4, 5 представлены данные, полученные при различных значениях объемной доли керамики в порошковой смеси. Видно, что все экспериментальные точки описываются едиными линейными (см. рис. 4) и гиперболическими (см. рис. 5) зависимостями.

На рис. 4,6 можно выделить два характерных режима наплавки: режим теплопроводности (B < 4,5) и режим кинжального проплавления (B > 4,5). Аналогичные зоны теплопроводности и кинжального проплавления можно выделить на рис. 5,6. Однако в данном случае невозможно определить граничное значение числа Пекле. Так как параметр безразмерной энтальпии является комбинацией задаваемых параметров лазерного излучения (мощности излучения, скорости сканирования и диаметра пучка), то использование полученных закономерностей позволяет формировать наплавочный валик с необходимыми размерами и свойствами.

Заключение. В работе проведено исследование влияния мощности лазерного излучения, скорости сканирования и размера лазерного пятна на геометрические размеры формируемого трека. Показано, что независимо от объемной доли керамики геометрические размеры треков определяются двумя безразмерными параметрами: нормированной энтальпией B и числом Пекле Pe и могут быть описаны единой зависимостью. По результатам

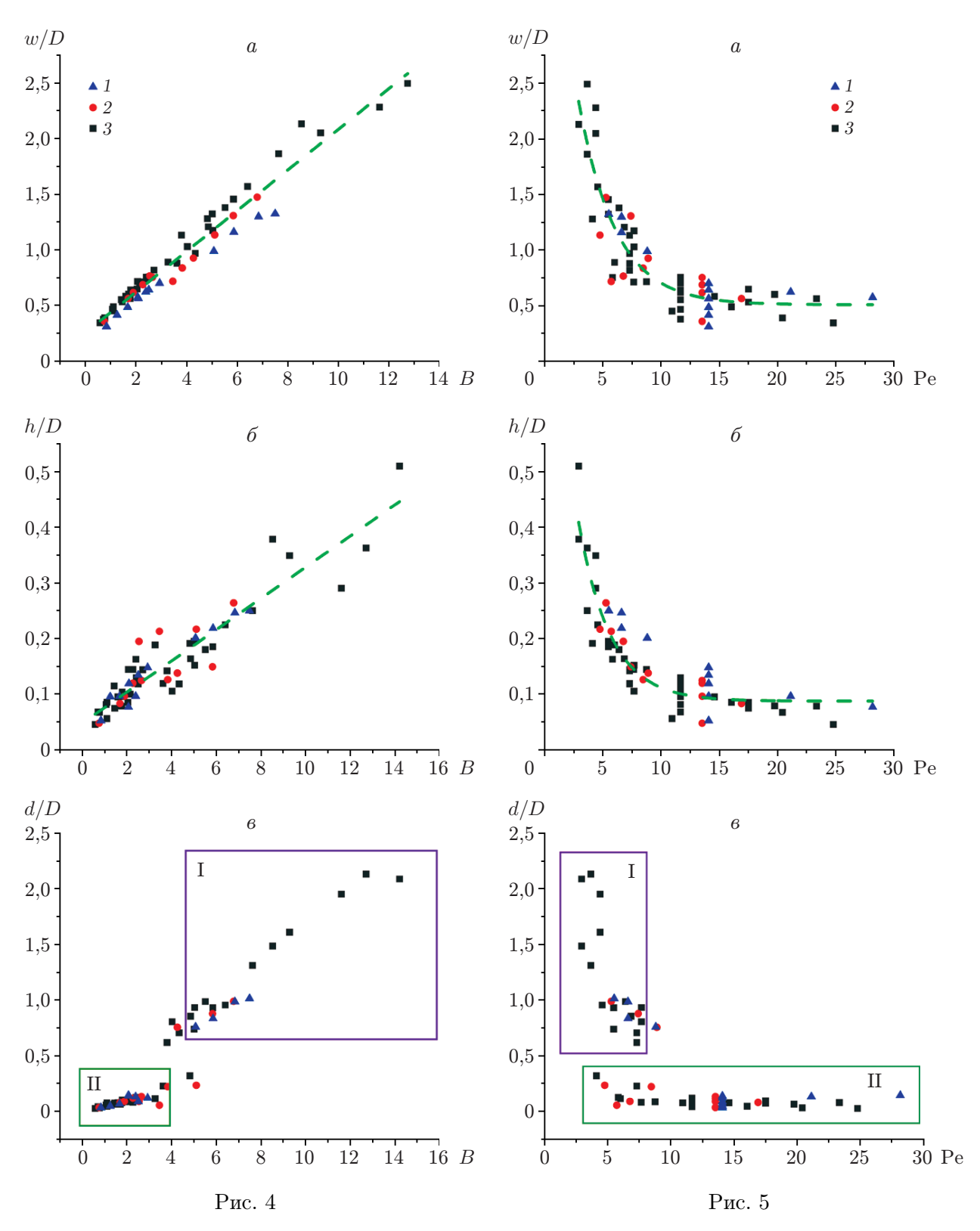


Рис. 4. Зависимости безразмерных ширины w/D (a), высоты h/D (b), глубины d/D (b) наплавленных треков от безразмерной энтальпии B: $1-\nu=0, 2-\nu=10\%, 3-\nu=20\%; I$ — зона кинжального проплавления, II — зона теплопроводности; точки — экспериментальные данные, линии — аппроксимации экспериментальных данных Рис. 5. Зависимости безразмерных ширины w/D (a), высоты h/D (b), глубины d/D (b) наплавленных треков от числа Пекле Ре (обозначения те же, что на рис. 4)

обработки экспериментальных данных определены области существования режимов кинжального проплавления и теплопроводности в зависимости от значений B и Pe. Определено граничное значение безразмерного параметра B для разных режимов: для режима теплопроводности B < 4.5, для режима кинжального проплавления B > 4.5.

ЛИТЕРАТУРА

- 1. Pathania A., Kumar S. A., Nagesha B. K., et al. Reclamation of titanium alloy based aerospace parts using laser based metal deposition methodology // Materials Today: Proc. 2021. V. 45, pt 6. P. 4886–4892.
- 2. Blakey-Milner B., Gradl P., Snedden G., et al. Metal additive manufacturing in aerospace: A review // Materials Design. 2021. V. 209. 110008.
- 3. **Фомин В. М., Гольшев А. А., Маликов А. Г. и др.** Создание функциональноградиентного материала методом аддитивного лазерного сплавления // ПМТФ. 2020. Т. 61, № 5. С. 224–234.
- 4. Li N., Xiong Y., Xiong H., et al. Microstructure, formation mechanism and property characterization of Ti + SiC laser cladded coatings on Ti₆Al₄V alloy // Materials Characteriz. 2019. V. 148. P. 43–51.
- 5. Levy A., Miriyev A., Elliott A., et al. Additive manufacturing of complex-shaped graded TiC/steel composites // Materials Design. 2017. V. 118. P. 198–203.
- 6. Yi J., Zhang X., Rao J. H., et al. In-situ chemical reaction mechanism and non-equilibrium microstructural evolution of (TiB₂+TiC)/AlSi₁₀Mg composites prepared by SLM-CS processing // J. Alloys Compounds. 2021. V. 857. 157553.
- 7. **Tamanna N., Crouch R. S., Naher S.** Progress in numerical simulation of the laser cladding process // Optics Lasers Engng. 2019. V. 122. P. 151–163.
- 8. Lamikiz T. A., Ukar E., López de Lacalle L. N., et al. Numerical simulation and experimental validation of powder flux distribution in coaxial laser cladding // J. Materials Process. Technol. 2010. V. 210. P. 2125–2134.
- 9. **Голышев А. А., Оришич А. М., Филиппов А. А.** Законы подобия лазерной наплавки металлокерамических покрытий // ПМТФ. 2019. Т. 60, № 4. С. 194–205.
- 10. Mukherjee T., Manvatkar V., De A., DebRoy T. Dimensionless numbers in additive manufacturing // J. Appl. Phys. 2017. V. 121. 064904.
- 11. Weaver J. S., Heigel J. C., Lane B. M. Laser spot size and scaling laws for laser beam additive manufacturing // J. Manufactur. Process. 2021. V. 73. P. 26–39.
- 12. **Миснар А.** Теплопроводность твердых тел, жидкостей, газов и их композиций. М.: Мир, 1968.

Поступила в редакцию 6/IV 2023 г., после доработки — 20/IV 2023 г. Принята к публикации 24/IV 2023 г.